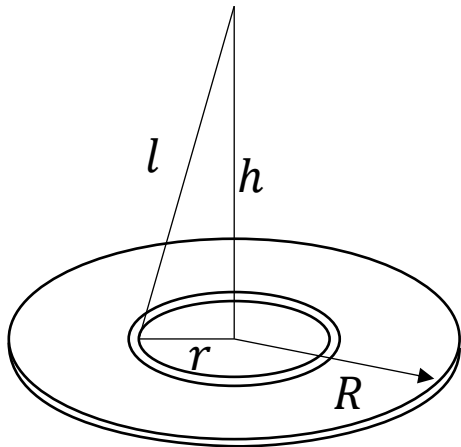


12.26 По тонкому диску радиуса $R = 10$ см равномерно распределен заряд с поверхностной плотностью $\sigma = 10$ нКл/м². Найти потенциал в точке, лежащей на оси диска на расстоянии 6 см от плоскости диска.



Будем разбивать диск на кольца. Заряд каждого кольца $dq = \sigma dS = \sigma d(\pi r^2) = 2\sigma \pi r dr$.

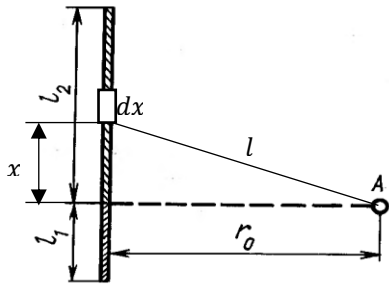
В силу симметрии и равноудаленности всех точек кольца от точки расчета потенциал, создаваемый данным кольцом: $d\varphi = \frac{1}{4\pi\epsilon_0} \cdot \frac{dq}{l} = \frac{1}{4\pi\epsilon_0} \cdot \frac{dq}{\sqrt{r^2 + h^2}}$.

Так как потенциал – скаляр, то общий потенциал $\varphi = \int_0^R d\varphi = \int_0^R \frac{1}{4\pi\epsilon_0} \cdot \frac{dq}{\sqrt{r^2 + h^2}} =$

$$\frac{2\sigma\pi}{4\pi\epsilon_0} \int_0^R \frac{r dr}{\sqrt{r^2 + h^2}} = \frac{\sigma}{4\epsilon_0} \int_0^R \frac{d(r^2 + h^2)}{\sqrt{r^2 + h^2}} =$$

$$\frac{\sigma}{\epsilon_0} \sqrt{r^2 + h^2} \Big|_0^R = \frac{\sigma}{2\epsilon_0} (\sqrt{R^2 + h^2} - h)$$

12.4 Найти потенциал в точке A , удаленной на расстоянии r_0 от заряженной нити длиной $(l_1 + l_2)$. Линейная



плотность зарядов τ .

$$dq = \tau dx$$

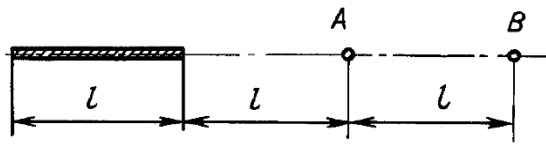
$$d\varphi = \frac{dq}{4\pi\epsilon_0 \cdot l} = \frac{\tau}{4\pi\epsilon_0} \frac{dx}{\sqrt{x^2 + r_0^2}}$$

$$\varphi = \frac{\tau}{4\pi\epsilon_0} \int_{-l_1}^{l_2} \frac{dx}{\sqrt{x^2 + r_0^2}} = \frac{\tau}{4\pi\epsilon_0} \ln \left(\sqrt{x^2 + r_0^2} + x \right) \Big|_{-l_1}^{l_2} =$$

$$\frac{\tau}{4\pi\epsilon_0} \left(\ln \left(\sqrt{l_2^2 + r_0^2} + l_2 \right) - \ln \left(\sqrt{l_1^2 + r_0^2} - l_1 \right) \right) =$$

$$\frac{\tau}{4\pi\epsilon_0} \ln \left(\frac{\sqrt{l_2^2 + r_0^2} + l_2}{\sqrt{l_1^2 + r_0^2} - l_1} \right)$$

12.6 На отрезке тонкого прямого проводника равномерно распределен заряд с линейной плотностью $\tau = 2,5 \text{ нКл/м}$. Найти разность потенциалов точек А и В.



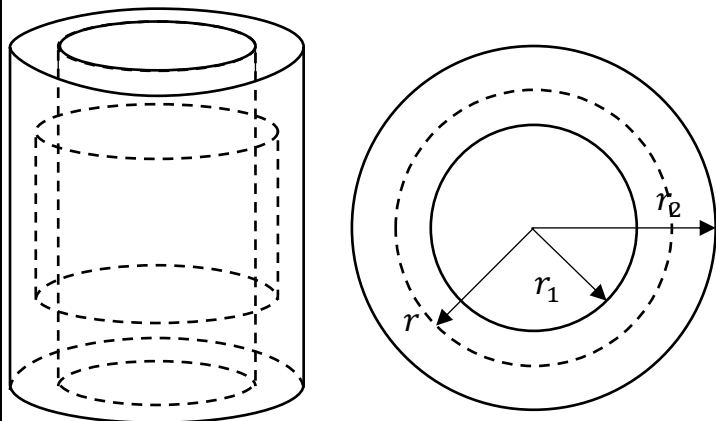
$$dq = \tau dr \quad d\varphi = \frac{dq}{4\pi\epsilon_0 r} = \frac{\tau}{4\pi\epsilon_0} \frac{dr}{r}$$

$$\varphi_A = \frac{\tau}{4\pi\epsilon_0} \int_l^{2l} \frac{dr}{r} = \frac{\tau}{4\pi\epsilon_0} \ln r \Big|_l^{2l} = \frac{\tau \ln 2}{4\pi\epsilon_0}$$

$$\varphi_B = \frac{\tau}{4\pi\epsilon_0} \int_{2l}^{3l} \frac{dr}{r} = \frac{\tau}{4\pi\epsilon_0} \ln r \Big|_{2l}^{3l} = \frac{\tau \ln \frac{3}{2}}{4\pi\epsilon_0}$$

$$\Delta\varphi = \varphi_A - \varphi_B = \frac{\tau}{4\pi\epsilon_0} \left(\ln 2 - \ln \frac{3}{2} \right) = \frac{\tau \ln \frac{4}{3}}{4\pi\epsilon_0}$$

12.9 Два бесконечно длинных коаксиальных цилиндра с радиусами $r_1 = 10$ и $r_2 = 20$ мм заряжены одноименными зарядами, причем поверхностная плотность зарядов на внешнем цилиндре $\sigma_2 = 6,66$ нКл/м², а на внутреннем $\sigma_1 = 3,333$ нКл/м². Найти разность потенциалов $\Delta\varphi$ между цилиндрами.



Выберем между цилиндрами 1 и 2 Гауссову поверхность в форме цилиндра.

$$\Phi = \int_{(S_{\text{пов}})} \vec{E} d\vec{S} = \int_{(S_6)} E dS \cos 0 + 2 \int_{(S_{\text{очн}})} E dS \cos 90 = 2\pi r E \int_{(0)}^h dh = 2\pi r E h$$

$$dq_1 = \sigma_1 dS_1 = 2\pi r_1 \sigma_1 dh$$

$$q_{\text{вн}} = \int_0^h 2\pi r_1 \sigma_1 dh = 2\pi r_1 \sigma_1 h$$

$$\Phi = \frac{q_{\text{вн}}}{\epsilon_0} \rightarrow 2\pi r E h \epsilon_0 = 2\pi r_1 \sigma_1 h$$

$$E r \epsilon_0 = r_1 \sigma_1 \rightarrow E = \frac{r_1 \sigma_1}{\epsilon_0 r}$$

В силу симметрии задачи вектора E и dr коллинеарные.

$$\varphi = \int_{r_1}^{r_2} E dr = \frac{r_1 \sigma_1}{\epsilon_0} \int_{r_1}^{r_2} \frac{dr}{r} = \frac{r_1 \sigma_1}{\epsilon_0} \ln \frac{r_2}{r_1}$$

12.12 Потенциал некоторого поля имеет вид $\varphi = axz$. Найти вектор напряженности поля и его модуль

$$\vec{E} = -\vec{\nabla}\varphi = -\frac{\partial\varphi}{\partial x}\vec{i} - \frac{\partial\varphi}{\partial y}\vec{j} - \frac{\partial\varphi}{\partial z}\vec{k} = -az\vec{i} - ax\vec{k}$$

$$E = \sqrt{a^2z^2 + a^2x^2} = a\sqrt{z^2 + x^2}$$

12.14 Потенциал некоторого поля имеет вид $\varphi = a(x^2 + y^2) - bz^2$. Найти вектор напряженности поля и его модуль

$$\vec{E} = -\vec{\nabla}\varphi = -\frac{\partial\varphi}{\partial x}\vec{i} - \frac{\partial\varphi}{\partial y}\vec{j} - \frac{\partial\varphi}{\partial z}\vec{k} = -2ax\vec{i} - 2ay\vec{j} + 2bz\vec{k}$$

$$E = 2\sqrt{a^2x^2 + a^2y^2 + b^2z^2}$$

12.19 Потенциал поля внутри заряженного шара зависит только от расстояния от центра шара по закону $\varphi = ar^2 + b$ ($a, b = \text{const}$). Найти объемную плотность заряда ρ внутри шара.

$$r^2 = x^2 + y^2 + z^2$$

Найдем
$$\vec{E} = -\vec{\nabla}\varphi = -\frac{\partial\varphi}{\partial x}\vec{i} - \frac{\partial\varphi}{\partial y}\vec{j} - \frac{\partial\varphi}{\partial z}\vec{k} = -2a(x\vec{i} + y\vec{j} + z\vec{k})$$

$$\frac{\rho}{\varepsilon_0} = \text{div } \vec{E} = \vec{\nabla}\vec{E} = \frac{\partial E_x}{\partial x} + \frac{\partial E_y}{\partial y} + \frac{\partial E_z}{\partial z} = -2a - 2a - 2a = -6a$$

$$\rho = -6a\varepsilon_0$$

12.50 Пользуясь теоремой Остроградского-Гаусса в дифференциальной форме, найти вектор напряженности E внутри и вне шара радиусом R , равномерно заряженного с объемной плотностью ρ .

$\operatorname{div} \vec{E} = \frac{\rho}{\varepsilon_0}$ — теорема Остроградского-Гаусса в дифференциальной формулировке.

Работаем в сферических координатах (r, φ, θ) . Т.к. задача сферически симметрична, то $\frac{\partial E}{\partial \theta} = 0$ и $\frac{\partial E}{\partial \varphi} = 0$.

Дивергенция в сферических координатах: $\operatorname{div} \vec{E} = \frac{1}{r^2} \frac{d}{dr} (\vec{E} r^2)$

т.к. $E \parallel r$, то $\vec{E} r^2 = E r^2$

$$\frac{d}{dr} (E r^2) = \frac{\rho r^2}{\varepsilon_0}$$

$$\text{При } r \leq R: \int_0^r d(E r^2) = \int_0^r \frac{\rho r^2}{\varepsilon_0} dr \quad E = \frac{\rho r}{3\varepsilon_0} \quad \vec{E} = \frac{\rho}{3\varepsilon_0} \vec{r}$$

$$\text{При } r \geq R: \int_0^r d(E r^2) = \int_0^r \frac{\rho r^2}{\varepsilon_0} dr$$

Т.к. весь заряд сосредоточен в шаре радиусом R , то получим

$$\int_0^r d(E r^2) = \int_0^R \frac{\rho r^2}{\varepsilon_0} dr$$

$$E = \frac{\rho R^3}{3\varepsilon_0 r^2} = \frac{\rho R^3}{3\varepsilon_0 r^3} r \quad \vec{E} = \frac{\rho R^3}{3\varepsilon_0 r^3} \vec{r}$$

13.25 Найти поляризованность \vec{P} кристаллической пластинки, диэлектрическая проницаемость которой $\varepsilon = 3$, если напряженность нормального к пластинке внешнего электрического поля $\vec{E}_0 = 1 \text{ МВ/м}$.

$$D_0 = D_1$$

$$D_0 = \varepsilon_0 E_0$$

$$D_1 = \varepsilon \varepsilon_0 E_1 - (\text{экспериментальное соотношение})$$

$$P = (\varepsilon - 1) \varepsilon_0 E_1 = \frac{\varepsilon - 1}{\varepsilon} \varepsilon_0 E_0$$

13.26 В некоторой точке изотропного диэлектрика с проницаемостью ε смещение равно \vec{D} . Чему равна поляризованность \vec{P} в этой точке?

$$\vec{D} = \varepsilon \varepsilon_0 \vec{E}$$

$$\vec{P} = (\varepsilon - 1) \varepsilon_0 \vec{E} = \frac{\varepsilon - 1}{\varepsilon} \vec{D}$$

16.6 Непроводящий тонкий диск радиусом R , равномерно заряженный с одной стороны с поверхностной плотностью заряда σ , вращается вокруг своей оси с угловой скоростью ω . Определить магнитную индукцию B в центре диска

Будем разбивать диск на кольца.

$$dq = \sigma dS = \sigma 2\pi r dr$$

Крутящийся диск является своеобразным током.

$$dI = \frac{dq}{T} = 2\sigma\pi r \frac{dr}{T} = \frac{2\sigma\pi r \omega dr}{2\pi} = \sigma\omega r dr$$

$$T = \frac{2\pi}{\omega}$$

По закону БСЛ

$$\overrightarrow{dB} = \frac{\mu_0 dI}{4\pi} \int_{(L)} \frac{(\overrightarrow{dl} \times \vec{r})}{r^3} = \frac{\mu_0 dI}{4\pi r^2} \int_{(L)} dl = \frac{\mu_0 dI}{2r} = \frac{\mu_0 \sigma \omega r dr}{2r} = \frac{\mu_0 \sigma \omega}{2} dr$$

$$B = \int_0^R dB = \frac{\mu_0 \sigma \omega}{2} \int_0^R dr = \frac{\mu_0 \sigma \omega R}{2}$$

16.8 Плоское диэлектрическое кольцо, внешний и внутренний радиусы которого R_1 и R_2 , равномерно заряжено зарядом q и вращается вокруг своей оси с угловой скоростью ω . Определить магнитную индукцию в центре кольца.

Будем разбивать плоское кольцо на кольца.

$$dq = \sigma dS = \sigma 2\pi r dr \quad q = \int_{R_1}^{R_2} dq = \pi(R_2^2 - R_1^2)\sigma \rightarrow \sigma = \frac{q}{\pi(R_2^2 - R_1^2)}$$

Крутящийся диск является своеобразным током.

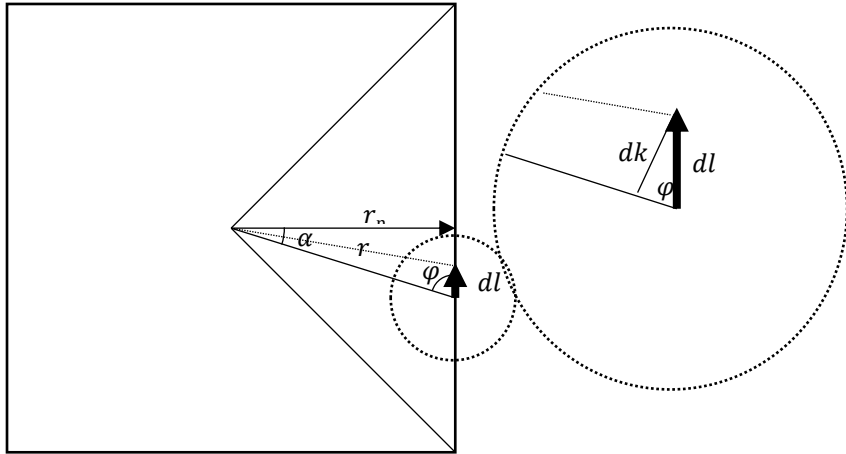
$$dI = \frac{dq}{T} = 2\sigma\pi r \frac{dr}{T} = \frac{2\sigma\pi r \omega dr}{2\pi} = \sigma\omega r dr$$

$$T = \frac{2\pi}{\omega}$$

По закону БСЛ

$$\begin{aligned} \overrightarrow{dB} &= \frac{\mu_0 dI}{4\pi} \int_{(L)} \frac{(\overrightarrow{dl} \times \vec{r})}{r^3} = \frac{\mu_0 dI}{4\pi r^2} \int_{(L)} dl = \frac{\mu_0 dI}{2r} = \frac{\mu_0 \sigma \omega r dr}{2r} = \frac{\mu_0 \sigma \omega}{2} dr \\ B &= \int_{R_1}^{R_2} dB = \frac{\mu_0 \sigma \omega}{2} \int_{R_1}^{R_2} dr = \frac{\mu_0 \sigma \omega (R_2 - R_1)}{2} = \frac{\mu_0 q \omega (R_2 - R_1)}{2\pi(R_2^2 - R_1^2)} = \\ &= \frac{\mu_0 q \omega}{2\pi(R_1 + R_2)} \end{aligned}$$

16.15 Определить магнитную индукцию квадратной рамки со стороной $a = 100$ мм, если по рамке течет ток $I = 2$ А.



Для одной из четырех сторон

$$dB = \frac{\mu_0 I}{4\pi} \frac{d\vec{l} \times \vec{r}}{r^3} = \frac{\mu_0 I r \sin \varphi dl}{4\pi r^3} = \frac{\mu_0 I \cos \alpha}{4\pi r^2} dl$$

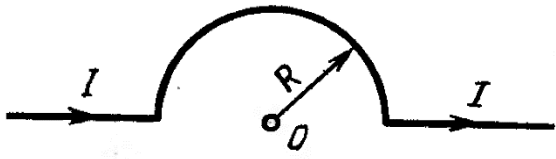
$$dk = r d\alpha; dl = \frac{dk}{\cos \alpha}; dl = \frac{r d\alpha}{\cos \alpha}; \quad r = \frac{r_n}{\cos \alpha} = \frac{a}{2 \cos \alpha}$$

$$dB = \frac{\mu_0 I \cos \alpha}{4\pi r \cos \alpha} d\alpha = \frac{\mu_0 I}{2a\pi} \cos \alpha d\alpha$$

$$B = \int dB = \frac{\mu_0 I}{2a\pi} \int_{-\frac{\pi}{4}}^{\frac{\pi}{4}} \cos \alpha d\alpha = \frac{\mu_0 I}{2a\pi} = \frac{\mu_0 I}{2a\pi} \cdot \sin \alpha \Big|_{-\frac{\pi}{4}}^{\frac{\pi}{4}} = \frac{\mu_0 I \sqrt{2}}{2a\pi}$$

$$B_{\text{общ}} = 4B = \frac{2\sqrt{2}\mu_0 I}{a\pi}$$

16.25 Прямой длинный провод на одном из участков переходит в полуокружность радиусом R . По проводу проходит ток I . Определить магнитную индукцию B поля в центре полуокружности.



Можно разбить проводник на три сегмента: до полуокружности, полуокружность, после полуокружности. В законе БСЛ присутствует $\vec{dl} \times \vec{r}$, и для линейного проводника (1 и 3 сегменты) векторное произведение обращается в 0 (т.к. \vec{dl} и \vec{r} коллинеарные. Остается подсчитать индукцию полукольца.

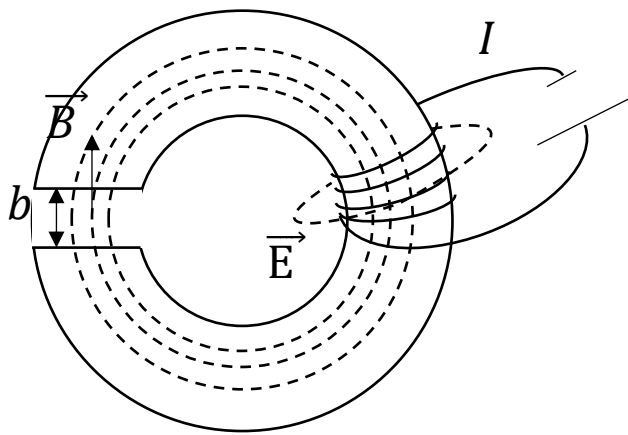
БСЛ: $dB = \frac{\mu_0 I}{4\pi} \frac{\vec{dl} \times \vec{r}}{r^3}$. На всем участке радиус будет перпендикулярен окружности и постоянен. $dB = \frac{\mu_0 I}{4\pi R^2} dl$. Интегрируем: $B = \int dB = \frac{\mu_0 I}{4\pi R^2} \int_{(L)} dl = \frac{\mu_0 I \pi R}{4\pi R^2} = \frac{\mu_0 I}{4R}$

16.45 Вычислить циркуляцию магнитной индукции вдоль контура, охватывающего прямые бесконечные токи $I_1 = 10 \text{ A}$, $I_2 = 15 \text{ A}$, проходящие в одном направлении, и тока $I_3 = 20 \text{ A}$, проходящего в противоположном направлении.

$$\oint_{(L)} B dl = \mu_0 \sum I_{\text{охв}i}$$

$$\oint_{(L)} B dl = \mu_0 (I_1 + I_2 - I_3)$$

17.48 На железном тороидальном сердечнике со средним радиусом R имеется обмотка с общим числом витков N . В сердечнике сделана поперечная прорезь малой ширины b ($b \ll 2\pi R$). При токе силой I в обмотке магнитная индукция в зазоре B . Пренебрегая рассеиванием магнитного потока на краях зазора, определить магнитную проницаемость железа μ в этих условиях.



B_1, H_1, μ — в сердечнике

$B_2, H_2, \mu = 1$ — в зазоре

Т.к. $b \ll 2\pi R$, то можно считать в соответствии с условием, что на границе раздела зазора и сердечника у вектора \vec{B} есть только нормально площадке зазора составляющая, а значит $B = B_1 = B_2$.

Получим. $H_1 = \frac{B}{\mu\mu_0}$ $H_2 = \frac{B}{\mu_0}$

Воспользуемся теоремой о циркуляции вектора \vec{H} . $\oint_{(L)} \vec{H} d\vec{l} = I_{\text{проводимости}}$

Выберем в качестве замкнутого контура кольцо в сердечнике.

$I_{\text{проводимости}} = NI$. $\oint_{(L)} \vec{H} d\vec{l} = \int_0^b H_2 dl + \int_b^{2\pi R} H_1 dl = H_2 b +$

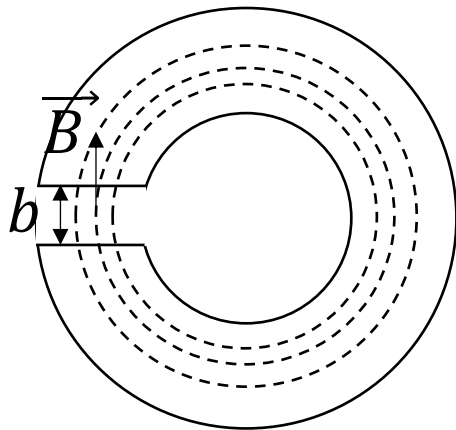
$H_1 (2\pi R - b) = \frac{B}{\mu_0} \left(b + \frac{2\pi R - b}{\mu} \right)$

$\frac{B}{\mu_0} \left(b + \frac{2\pi R - b}{\mu} \right) = NI$

$\frac{2\pi R - b}{\mu} = \frac{NI\mu_0}{B} - b = \frac{NI\mu_0 - bB}{B}$

$\mu = \frac{B(2\pi R - b)}{NI\mu_0 - bB}$

17.49 Постоянный магнит изготовлен в виде кольца с узким зазором между полюсами. Средний диаметр кольца D , ширина зазора $b \ll \pi D$. Индукция магнитного поля в зазоре B . Пренебрегая рассеиванием магнитного потока на краях зазора, определить напряженность магнитного поля H внутри магнита.



B_1, H_1 — ? — в магните

$B_2, H_2, \mu = 1$ — в зазоре

Т.к. $b \ll 2\pi R$, то можно считать в соответствии с условием, что на границе раздела зазора и сердечника у вектора \vec{B} есть только нормально площадке зазора составляющая, а значит $B = B_1 = B_2$.

Воспользуемся теоремой о циркуляции вектора \vec{H} .

$$\oint_{(L)} \vec{H} d\vec{l} = I_{\text{проводимости}}$$

Выберем в качестве замкнутого контура кольцо в сердечнике. $I_{\text{проводимости}} = 0$.

$$\oint_{(L)} \vec{H} d\vec{l} = \int_0^b H_2 dl + \int_b^{2\pi R} H_1 dl = H_2 b + H_1 (2\pi R - b) =$$

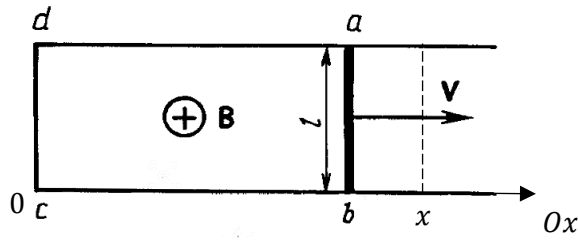
$$\frac{B}{\mu_0} b + H_1 (2\pi R - b)$$

$$\frac{B}{\mu_0} b + H_1 (2\pi R - b) = 0$$

$$\frac{B}{\mu_0} b = H_1 (b - 2\pi R)$$

$$H_1 = \frac{B}{\mu_0} \frac{b}{b - 2\pi R} = \frac{B}{\mu_0} \frac{b}{b - \pi D}$$

18.7 В однородном магнитном поле, индукция которого 20 мТл, расположена прямоугольная рамка $abcd$, подвижная сторона которой



длиной $l = 20$ см перемещается со скоростью $v = 20$ м/с перпендикулярно к направлению поля. Найти ЭДС ε_i , индуцируемую в контуре.

$$\varepsilon_i = - \frac{d\Phi}{dt}$$

$$\Phi = \int_{(S)} \vec{B} d\vec{S} = \int_{(S)} B dS = B \int_{(S)} dS = B \int_{(S)} dS = Bl \int_b^{x+b} dx = Blx$$

$$v = x'(t) \Rightarrow x = vt + b$$

$$\Phi = Blx = Blvt + Blb$$

$$\varepsilon_i = - \frac{d\Phi}{dt} = -Blv$$

19.43 Плоская электромагнитная волна $\vec{E} = \vec{E}_{\max} \cos(\omega t - \vec{k}\vec{r})$ распространяется в вакууме. Найти модуль вектора Пойнтинга $|\vec{P}|$ этой волны.

$$\vec{H} = \vec{H}_{\max} \cos(\omega t - \vec{k}\vec{r}) \quad \sqrt{\epsilon\epsilon_0 E_{\max}} = \sqrt{\mu\mu_0 H_{\max}}$$

$$|\vec{S}| = |\vec{E} \times \vec{H}| = E_{\max} H_{\max} \cos^2(\omega t - \vec{k}\vec{r}) =$$

$$E_{\max}^2 \frac{\sqrt{\epsilon\epsilon_0}}{\sqrt{\mu\mu_0}} \cos^2(\omega t - \vec{k}\vec{r})$$

19.44 Плоская гармоническая линейно-поляризованная волна распространяется в вакууме. Амплитуда напряженности электрической составляющей волны E_{max} . Определить среднюю за период колебания плотность потока энергии $|\vec{P}|$.

$$\vec{E} = \vec{E}_{max} \cos(\omega t - \vec{k}\vec{r})$$

$$\vec{H} = \vec{H}_{max} \cos(\omega t - \vec{k}\vec{r}) \quad \sqrt{\varepsilon\varepsilon_0 E_{max}} = \sqrt{\mu\mu_0 H_{max}}$$

$$\langle \vec{S} \rangle = E_{max}^2 \frac{\sqrt{\varepsilon\varepsilon_0}}{\sqrt{\mu\mu_0}} \langle \cos^2(\omega t - \vec{k}\vec{r}) \rangle$$

Найдем среднее значение функции \cos^2 учитывая что колебание пробегает период.

$$\langle \cos^2(\omega t - \vec{k}\vec{r}) \rangle = \frac{1}{2\pi-0} \int_0^{2\pi} \cos^2 \alpha d\alpha = \frac{1}{8\pi} \int_0^{2\pi} (1 + \cos 2\alpha) d2\alpha = \frac{1}{8\pi} (2\alpha + \sin 2\alpha) \Big|_0^{2\pi} = \frac{4\pi}{8\pi} = \frac{1}{2}$$

$$\langle \vec{S} \rangle = \frac{E_{max}^2}{2} \frac{\sqrt{\varepsilon\varepsilon_0}}{\sqrt{\mu\mu_0}}$$

20.1 Показать, что если разность двух складываемых колебаний беспорядочно меняется во времени, то средняя по времени энергия результирующего колебания равна сумме энергий исходных колебаний.

$$E_1 = A_1 \cos(\omega t - \alpha_1)$$

$$E_2 = A_2 \cos(\omega t - \alpha_2)$$

$$A^2 = A_1^2 + A_2^2 + 2A_1A_2 \cos(\alpha_2 - \alpha_1)$$

Так как все значения разности фаз $\delta = \alpha_2 - \alpha_1$ равновероятны, то можно попытаться найти среднее значение функции \cos :

$$\langle \cos \delta \rangle = \frac{1}{2\pi - 0} \int_0^{2\pi} \cos(\delta) d\delta = \left. \frac{\sin \delta}{2\pi} \right|_0^{2\pi} = 0$$

Таким образом:

$$A^2 = A_1^2 + A_2^2; I \sim A^2; I = I_1 + I_2$$

Интенсивность является показателем переносимой энергии

20.2 На сколько полос Δm сместится интерференционная картина, если на пути одного из интерферирующих лучей ввести пластинку толщиной $d = 3,67$ мкм и показателем преломления $n = 1,6$? Длина волны $\lambda = 550$ нм.

Т.к. источники интерферируют, то они когерентны. $\Delta = \frac{\lambda}{2\pi}(\alpha_2 - \alpha_1)$

Условие максимума: $\alpha_1 - \alpha_2 = m\lambda; m \in Z$.

в центре интерференционной картины до внесения пластины

$$\frac{\lambda}{2\pi}(\alpha_2 - \alpha_1) = 0$$

учитывая, что $\alpha_1 = \omega t_{\text{обыкн}} - kx = \omega \frac{l}{c} - kx$

$$\begin{aligned} \alpha_{2_{\text{изм}}} &= \omega(t_{\text{ост}} + t_{\text{доп}}) - kx = \omega \left(\frac{l-d}{c} + \frac{d}{v} \right) - kx = \\ \omega \left(\frac{l-d}{c} + \frac{dn}{c} \right) - kx &= \omega \frac{l-d+nd}{c} - kx = \omega \left(\frac{l}{c} + \frac{d(n-1)}{c} \right) - kx = \\ \omega t_{\text{обыкн}} + \omega \frac{d(n-1)}{c} - kx \end{aligned}$$

$$\alpha_{2_{\text{изм}}} - \alpha_1 = \frac{\Delta m \lambda^2}{2\pi}$$

$$\frac{\lambda}{2\pi} \omega \frac{d(n-1)}{c} = \Delta m \lambda; \quad \omega = 2\pi\nu = 2\pi \frac{c}{\lambda'}$$

$$d(n-1) = \Delta m \lambda; \quad \Delta m = \frac{d(n-1)}{\lambda}.$$

20.21 Найти расстояние l между десятым и одиннадцатым кольцом Ньютона, наблюдаемым в отраженном свете, если расстояние между вторым и третьим $l_1 = 3$ мм. Свет падает нормально.

Согласно формуле для радиус светлого кольца:

$$r_m = \sqrt{\frac{\lambda R(2m-1)}{2}}; \text{ темного: } r_m = \sqrt{\frac{2\lambda Rm}{2}}$$

$$\text{для любого кольца: } \sqrt{\frac{\lambda R(m-1)}{2}}; m \in N \neq 0$$

$$\text{Тогда } l_1 = r_3 - r_2 = \sqrt{\frac{\lambda R}{2}} \cdot (\sqrt{2} - \sqrt{1})$$

$$l = r_{11} - r_{10} = \sqrt{\frac{\lambda R}{2}} \cdot (\sqrt{10} - \sqrt{9})$$

$$l = \frac{(\sqrt{10}-3)}{(\sqrt{2}-1)} l_1$$

21.1a Монохроматический свет ($\lambda = 550$ нм) падает нормально на диафрагму с круглым отверстием $R = 1/5$ мм. На каком расстоянии от диафрагмы находится точка наблюдения если отверстие равно двум зонам Френеля.

$$r_m^2 + b^2 = s_m^2$$

$$r_m^2 + b^2 = \left(b + m \frac{\lambda}{2}\right)^2 = b^2 + bm\lambda + \frac{m^2 \lambda^2}{4} = \left| \begin{array}{l} \lambda \ll b \\ \lambda^2 \approx 0 \end{array} \right| = b^2 + bm\lambda$$

$$r_m^2 = bm\lambda \rightarrow b = \frac{r_m^2}{m\lambda} = 3,63 \text{ см}$$

21.16 Монохроматический свет ($\lambda = 550$ нм) падает нормально на диафрагму с круглым отверстием $R = 1/5$ мм. На каком расстоянии от диафрагмы находится точка наблюдения если отверстие равно пяти зонам Френеля.

$$r_m^2 + b^2 = s_m^2$$

$$r_m^2 + b^2 = \left(b + m \frac{\lambda}{2}\right)^2 = b^2 + b m \lambda + \frac{m^2 \lambda^2}{4} = \left| \begin{array}{l} \lambda \ll b \\ \lambda^2 \approx 0 \end{array} \right| = b^2 + b m \lambda$$

$$r_m^2 = b m \lambda \rightarrow b = \frac{r_m^2}{m \lambda} = 1,45 \text{ см}$$

21.3 Найти радиус девятой зоны Френеля для плоского волнового фронта, если радиус четвертой зоны Френеля $r_4 = 3$ мм

$$r_m^2 + b^2 = s_m^2$$

$$r_m^2 + b^2 = \left(b + m \frac{\lambda}{2}\right)^2 = b^2 + bm\lambda + \frac{m^2\lambda^2}{4} = \left| \begin{array}{l} \lambda \ll b \\ \lambda^2 \approx 0 \end{array} \right| = b^2 + bm\lambda$$

$$r_m^2 = bm\lambda \rightarrow r_4^2 = 4b\lambda; r_9^2 = 9m\lambda \rightarrow \frac{r_4}{r_9} = \frac{2}{3} \rightarrow r_9 = 4,5 \text{ мм}$$

21.5 На диафрагму с отверстиями радиусом $r = 1,5$ мм нормально падает монохроматическая плоская световая волна. Когда расстояние от диафрагмы до установленного за ней экрана $b = 0,58$ м, в центре дифракционной картины наблюдается максимум интерференции. При увеличении расстояния на $\Delta b = 0,11$ м максимум интенсивности сменяется минимумом. Определить длину волны λ света.

$$r_m^2 + b^2 = s_m^2$$

$$r_m^2 + b^2 = \left(b + m \frac{\lambda}{2}\right)^2 = b^2 + b m \lambda + \frac{m^2 \lambda^2}{4} = \left| \frac{\lambda \ll b}{\lambda^2 \approx 0} \right| = b^2 + b m \lambda$$

$$r_m = \sqrt{b m \lambda}$$

Чтобы добиться максимума, для точки наблюдения необходимо чтобы все разбилось на нечетное количество зон. А чтобы добиться минимума – четное.

$\lambda = \frac{r^2}{b m}$ – для случая макс m – номер последней зоны (край отверстия как ограничение)

$\lambda = \frac{r^2}{(b + \Delta b) n}$ - для случая мин n – номер последней зоны

Исходя из предположения, что n уменьшилось на 1 по сравнению с m (поменялось с нечетного на четное)

$$\lambda = \frac{r^2}{b(n+1)}$$

$$\lambda = \frac{r^2}{(b + \Delta b) n} \quad (1)$$

$$\frac{1}{b(n+1)} = \frac{1}{(b + \Delta b) n}$$

$$b(n+1) = (b + \Delta b) n$$

$$\frac{n+1}{n} = \frac{b + \Delta b}{b}$$

$$1 + \frac{1}{n} = \frac{n+1}{n} = \frac{b + \Delta b}{b} = 1 + \frac{\Delta b}{b}$$

$n = \frac{b}{\Delta b} = 5,27272$ – это невозможно, число должно быть четным, но мы продолжим 😊

подставим в формульном виде (1)

$$\lambda = \frac{r^2 \Delta b}{(b + \Delta b) b} = 6,18 \cdot 10^{-7} \text{ м} = 618 \text{ нм}$$

21.7 Расстояние от источника до зонной пластинки $a = 10$ м, расстояние от пластины до места наблюдения $b = 10$ м. Длина волны $\lambda = 450$ нм. Найти радиус четвертой зоны Френеля.

Краткие достижения §55:

$$a^2 = (a - h_m)^2 + r_m^2 = \left| \begin{array}{l} h_m \ll a \\ h_m^2 \approx 0 \end{array} \right| = a^2 - 2ah_m + r_m^2$$

$$(b + h_m)^2 + r_m^2 = \left(b + \frac{m\lambda}{2} \right)^2 = \left| \begin{array}{l} \lambda \ll b \\ \lambda^2 \approx 0 \end{array} \right| = b^2 + bm\lambda$$

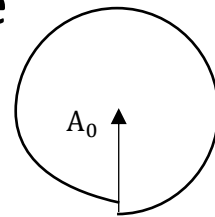
$$b^2 + bm\lambda - r_m^2 = (b + h_m)^2 = \left| \begin{array}{l} h_m \ll b \\ h_m^2 \approx 0 \end{array} \right| = b^2 + 2bh_m$$

$$r_m^2 = 2ah_m; r_m^2 = bm\lambda - 2bh_m \Rightarrow 2ah_m = bm\lambda - 2bh_m$$

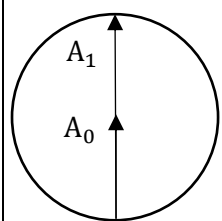
$$2h_m(a + b) = bm\lambda \Rightarrow h_m = \frac{bm\lambda}{2(a+b)}$$

$$r_m = \sqrt{2ah_m} = \sqrt{\frac{abm\lambda}{a+b}} = 3 \text{ мм}$$

21.8аб+ На пути плоской монохроматической волны интенсивностью I_0 поставлен экран, а перед экраном – диафрагма с круглым отверстием. Найти интенсивность света в центре экрана напротив отверстия, если а) отверстие сделать равным первой зоне б) половине первой зоны. +) Найти интенсивность, если диафрагму заменить круглым диском, который закроет только 1 зону Френеля.

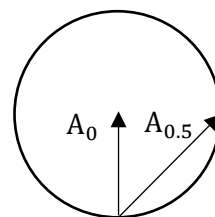


В соответствии со спиралью Френеля действие всех зон Френеля не может превышать половины амплитуды



а) Для одной зоны исходя из рисунка

$$2A_0 = A_1 \quad (A^2 \sim I) \Rightarrow$$



$$4I_0 = I_1$$

б) Для половины 1 зоны

рисунка: $\sqrt{2}A_0 = A_{0.5} \Rightarrow 2I_0 = I_{0.5}$

+) При закрытии 1 зоны все остальные зоны останутся на месте, спиралька Френеля крутанется на 180° , но ее свойства почти сохранятся.

$$A_0 = A \Rightarrow I_0 = I$$

21.31

Теория:

Согласно принципу Гюйгенса-Френеля все открытые участки волновой поверхности являются источником вторичных волн, которые интерферируя создают дифракционную картину (элементы свободной волновой поверхности от одной щели и от N щелей)

$$I = I_0 \left(\frac{\sin \alpha}{\alpha} \right)^2 \left(\frac{\sin \frac{\alpha}{\beta} N \alpha}{N \sin \frac{\alpha}{\beta} \alpha} \right)^2$$

где $\alpha = \frac{kb}{2} \sin \theta$ ($k = \frac{2\pi}{\lambda}$; θ – угол направления на max или min)

I_0 – интенсивность нулевого максимума (в центре дифракционной картины)

Условие минимумов ($I = 0$):

$$1) b \sin \theta = p\lambda, p \in \mathbb{Z}; p \neq 0 \quad (1)$$

$$2) \text{дополнительные минимумы: } d \sin \theta = \frac{q}{N} \lambda; q \in \mathbb{Z}, q \neq mN, m \in \mathbb{Z} \quad (2)$$

$$\text{Условие максимумов (главных): } (I \neq 0): d \sin \theta = m\lambda; m \in \mathbb{Z} \quad (3)$$

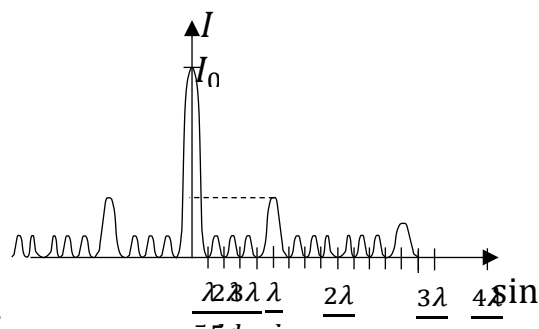
Если совпадает условие (3) и (1), то максимума не будет, будет минимум. Это зависит от N и соотношения $\frac{d}{b}$.

Между главными максимумами: $N - 1$ дополнительный минимум и $N - 2$ дополнительных максимумов.

$$\text{Количество главных максимумов: } m = \left[\frac{b}{\lambda} \right] \text{ (целая часть)}$$

Непосредственно задача:

$$N = 5; \frac{d}{b} = 2; I(\sin \varphi) - ?$$



главные максимумы:

0	$\frac{\lambda}{d}$	$\frac{2\lambda}{d}$	$\frac{3\lambda}{d}$...
$m = 0$	$m = 1$	$m = 2$	$m = 3$...

$$\text{главные минимумы: } \frac{\lambda}{b} = \frac{2\lambda}{d}; \frac{2\lambda}{b} = \frac{4\lambda}{d}; \frac{3\lambda}{b} = \frac{6\lambda}{d}; \frac{4\lambda}{b} = \frac{8\lambda}{d} \dots$$

Таким образом при $\sin \varphi = \frac{2\lambda}{d}; \frac{4\lambda}{d} \dots$ будет минимум.

$$\text{дополнительный минимум (3): } \frac{\lambda}{5d}; \frac{2\lambda}{5d}; \frac{3\lambda}{5d}; \frac{4\lambda}{5d} \dots$$

21.36 Найти угловую дисперсию D (в угл. мин/нм) дифракционной решетки для длины волны $\lambda = 550$ нм, в спектре третьего порядка. Ширина решетки $l = 2$ см, общее число штрихов $N = 4000$. Свет падает на решетку нормально.

$D = \frac{\delta\varphi}{\delta\lambda}$ $d \sin \varphi = m\lambda \rightarrow$ Возьмем дифференциал от лев. и прав. части.

$$\delta(d \sin \varphi) = \delta(m\lambda); d\delta(\sin \varphi) = m\delta\lambda; \quad d \cos \varphi \delta\varphi = m\delta\lambda$$

$$\frac{\delta\varphi}{\delta\lambda} = \frac{m}{d \cos \varphi} \qquad d = \frac{l}{N}$$

$$d \sin \varphi = m\lambda \rightarrow \sin \varphi = \frac{m\lambda}{d} \rightarrow \cos \varphi = \sqrt{1 - \frac{m^2\lambda^2}{d^2}} = \frac{\sqrt{d^2 - m^2\lambda^2}}{d}$$

$$\frac{\delta\varphi}{\delta\lambda} = \frac{m}{\sqrt{d^2 - m^2\lambda^2}} = \frac{mN}{\sqrt{l^2 - m^2\lambda^2 N^2}} = \frac{mN}{m\lambda N \sqrt{\frac{l^2}{m^2\lambda^2 N^2} - 1}} = \frac{1}{\lambda \sqrt{\frac{l^2}{m^2\lambda^2 N^2} - 1}}$$

- §1. Электр. поле в вакууме, его характеристики
- §2 Пример расчета эл.стат. поля на основе принципа суперпоз..
- §3. Поток вкт-ра E . Т-ма Гаусса в интегр. и диф. форм-ках.
- §4. Пример расчета поля вкт-ра E с помощью т-мы Гаусса
- §5. Теорема о циркуляции вектора напряженности.
- §6. Электр. диполь. Сила, дейс. на дип. Эн. дип. в эл. поле.
- §7. Проводники в электрич. поле. Поля внутри проводника и у его поверхности. Емкость уединенного проводника.
- §8. Электрическое поле в веществе. Связанные и сторонние заряды. Поляризованность вещества P (вект).
- §9. Теорема Гаусса для вектора \vec{P} .
- §10. Вектор электрического смещения \vec{D} . Теорема Гаусса для \vec{D} .
- §11. Электрические условия на границе раздела двух диэлектриков.
- §12. Электрическая энергия системы зарядов. Энергия электрического поля. Плотность энергии.
- §13. Сила и плотн.тока. Ур-ие непрер-сти. Усл-ие стационар. Тока
- §14. Закон Ома для однородных проводников. Закон Ома в локальной дифференциальной форме
- §15. Сторонние силы. Обобщенный закон Ома в дифференциальной форме
- §16. Закон Джоуля-Ленца. Мощность.
- §17. Вектор магнитной индукции \vec{B} . Магнитное поле равномерно движущегося заряда. Принцип суперпозиции полей
- §18. Закон Био-Савара-Лапласа. Примеры расчета магн. полей
- §19. Пример расчета поля линейного проводника с током
- §20 Т-ма Гаусса для вкт-ра B
- §21 Т-ма о циркуляции для вкт-ра B
- §22 Примеры расчета вкт-ра B с помощью т-мы о циркуляции
- §23. Эффект Холла
- §24 Конур с током в магнитном поле
- §25. Намагниченность. Токи намагничивания
- §26. Циркуляция вектора намагниченности
- §27. Вектор напряжённости магнитного поля H . Теорема о циркуляции вектора H
- §28. Условия для магнитного поля на границе 2-х магнитов
- §29. Кривая намагничивания для ферромагнетиков. Гистерезис.
- §30. Явление электромагнитной индукции. опыты Фарадея. Закон электромагнитной индукции (ЭМИ).
- §31. Явление самоиндукции. Индуктивность.
- §32. Ток при размыкании цепи
- §33. Ток при замыкании цепи
- §34. Взаимная индукция

- §35. Энергия магнитного поля. Плотность энергии
- §36. Свободные колебания в контуре без активного сопр.
- §37. Свободные затухающие колебания в контуре.
- §38. Уравнение Максвелла. Ток смещения.
- §39. Основные свойства электромагнитных волн
- Электромагнитные волны
- §40. Поперечность эл/магн волн. Связь мгновенных значений E и H
- Поперечность эл/магн волн
- §41. Вектор Пойдинга
- §42. Давление производимое эл/магн волной
- §43. Эффект Доплера для электромагнитных волн.
- §44. Шкала электромагнитной волны. Показатель преломления. Оптическая длина пути
- §45. Волновой пакет. Монохроматичность световой волны. Интенсивность световой волны
- §46. Когерентность световых волн. Поперечная когерентность.
- §47. Явление интерференции световых волн.
- §48. Опыт Юнга. Интерфер. света от двух когерентн. Источников
- §49. Изменение фазы световой волны при отражении от границы раздела двух сред
- §50. Интерференция световой волны на тонкой пленке
- §51. Интерференция когерентных волн: Кольца Ньютона
- §52. Многолучевая интерференция
- §53. Интерферометр Майкельсона
- §54. Дифракция. Принцип Гюйгенса-Френеля. Дифракция Френеля и Фраунгофера.
- §55. Метод зон Френеля.
- § 56. Спираль Френеля
- § 57. Дифракция Френеля на круглом отверстии.
- §58. Дифракция Френеля на круглом диске.
- §59. Дифракция Фраунгофера на плоской щели
- §60. Дифракция Фраунгофера на диф. решетке.
- §61. Дифракция волн на двумерных структурах.
- §62. Понятие о голограмме
- §63. Естественный и поляризованный свет. Плоско-эллиптически- и по кругу поляризованная световая волна.
- §64. Закон Малюса
- §65. Поляризация света при отражении и преломлении
- §66. Двулучепреломление
- §67. Интерференция поляризованного света
- §68. Искусственная анизотропия.

